

# ГЕОХРОНОЛОГИЯ

## ГЕОХРОНОЛОГИЯ

### РУДНО-МАГМАТИЧЕСКАЯ СИСТЕМА ВОЗНЕСЕНСКОГО МЕДНО-ПОРФИРОВОГО МЕСТОРОЖДЕНИЯ

А.И. Грабежев, Г.Ю. Шардакова, А.Н. Ларионов

Вознесенское месторождение (находится в 60 км к северо-востоку от г. Учалы) от других медно-порфировых месторождений Тагило-Магнитогорской вулканогенной зоны существенно отличается по возрасту и других ниже рассматриваемых особенностей интрузивного магматизма и последующего рудно-метасоматического процесса.

Месторождение, кратко охарактеризованное в [Кривцов и др., 1986; Шишаков и др., 1988; Грабежев, Белгородский, 1992 и др.], находится вблизи Главного Уральского глубинного разлома в пределах Вознесенской структурно-формационной зоны. Месторождение приурочено к северо-восточной части Вознесенского массива (вытянутого в меридиональном направлении на 3,5 км при ширине до 0,5 км), прорывающего осадочно-вулканогенные породы базальтовой, базальт-андезит-базальтовой формаций и серпентиниты. В районе месторождения массив сложен порфировидными мелко-среднезернистыми диоритами и кварцевыми диоритами (55-61 мас. %  $\text{SiO}_2$ , табл. 1), которые ниже глубины 300 м приобретают фанеритовый облик. Диоритоиды инъецированы редкими дорудными жилами диоритовых порфириотов и многочисленными дорудными-внутрирудными телами и дайками плагиогранитов, плагиолейкогранитов (соответственно 70,5-71,6 и 74,2-75,0 мас. %  $\text{SiO}_2$ ). Порфировые структуры встречаются достаточно редко, вкрашенники представлены плагиоклазом, амфиболом, кварцем. На большинстве петрохимических диаграмм анализы гранитоидов укладываются в тренды, иллюстрирующие генетическое единство двухфазовой последовательности внедрения гранитоидов (рис. 1). Широкое распространение кислых гранитоидов является характерной особенностью Вознесенского массива, отличающей его от других диорит-кварцдиоритовых медно-порфировых массивов Тагило-Магнитогорской вулканогенной зоны.

Для гранитоидов каждой из фаз и в целом характерны хорошо выраженные обратные

корреляционные зависимости кремния с железом, кальцием, титаном, а также прямые зависимости между титаном и железом, титаном и фосфором (см. рис. 1), что свидетельствует о первично-магматическом соотношении главных петрогенных компонентов. Другой важной чертой диоритов и кварцевых диоритов массива является повышенное и довольно стабильное содержание  $\text{K}_2\text{O}$  (1,2-1,7, реже до 2,1-2,4 мас. %), не связанное с вариацией содержаний кальция и натрия. Количество калия в гранитоидах не корелируется со степенью их изменения. Так как большая часть гранитоидов слабо (иногда умеренно) серицитизирована, то можно полагать, с учетом вышесказанного, что образование серицита не связано с существенным привносом калия. По-видимому, серицитизация, как и обычно сопутствующая ей хлоритизация, пренитизация, происходили преимущественно в условиях перераспределения компонентов в породе. Тоже можно сказать и об образовании иногда наблюдающегося биотита. Только при формировании аподиоритового серицит-кварцевого метасоматита имел место значительный привнос калия и вынос кальция, натрия (см. табл. 1). Количество  $\text{K}_2\text{O}$  в плагиогранитах варьирует от 0,6 до 1,6 мас. %, а в плагиолейкогранитах не превышает 0,7 мас. %. Содержание кварца в плагиогранитах составляет 34-39 об. %. Диоритоиды содержат 28-41 г/т рубидия и 407-697 г/т стронция, причем их количество не зависит от степени изменения гранитоидов. Столь высокие содержания рубидия и стронция в гранитоидах не отвечают их формированию в условиях типовой ранней островодужной обстановки.

U-Pb анализ цирконов на SHRIMP-II (лаборатория ВСЕГЕИ) из заметно серицитизированного, хлоритизированного и пренитизированного кварцевого диорита свидетельствует о возрасте образования циркона в  $412 \pm 7$  млн. лет и возрасте, вероятно, метаморфизма (полное удаление свинца из циркона) при  $381 \pm 4$  млн. лет (рис. 2, табл. 2). Менее вероятный альтернатив-

# ЕЖЕГОДНИК-2007

*Таблица 1*  
**Химический состав гранитоидов Вознесенского массива, мас. % (Rb и Sr в г/т)**

Компоненты	1	2	3	4	5	6	7	8	9	10	11
	3-285	3-89	3-172	Среднее, 2 ан.	4-32	3-141	6-403	6-513	5-140	5-271	Среднее, 6 ан.
SiO <sub>2</sub>	54,99	58,27	58,27	58,27	55,05	56,30	56,63	57,17	59,09	59,40	57,27
TiO <sub>2</sub>	0,40	0,35	0,39	0,37	0,37	0,38	0,36	0,38	0,36	0,35	0,37
Al <sub>2</sub> O <sub>3</sub>	16,78	15,24	15,06	15,15	16,66	15,96	15,95	15,30	15,46	15,65	15,83
Fe <sub>2</sub> O <sub>3</sub>	2,81	1,92	2,41	2,17	3,09	2,92	1,79	2,17	2,01	2,18	2,36
FeO	6,23	5,84	5,65	5,75	5,38	5,89	7,87	5,38	5,48	5,11	5,85
MnO	0,11	0,09	0,09	0,09	0,10	0,10	0,11	0,10	0,10	0,09	0,10
MgO	4,22	4,60	4,35	4,48	4,28	4,28	4,27	4,98	4,04	4,03	4,31
CaO	6,97	5,08	6,13	5,61	6,37	6,75	6,24	7,05	5,70	4,36	6,08
Na <sub>2</sub> O	2,77	3,55	3,17	3,36	2,67	2,63	2,14	2,14	2,41	2,45	2,41
K <sub>2</sub> O	1,33	1,34	1,53	1,44	2,08	1,53	1,69	1,69	2,06	2,39	1,91
P <sub>2</sub> O <sub>5</sub>	0,18	0,16	0,16	0,16	0,16	0,17	0,16	0,16	0,15	0,15	0,16
CO <sub>2</sub>	0,05	0,05	0,05	0,05	0,05	0,11	0,05	0,05	0,05	0,11	0,07
S	0,14	0,52	0,13	0,33	0,18	0,48	0,48	0,43	0,35	0,36	0,38
F	0,09	0,10	0,09	0,10	0,08	0,09	0,07	0,08	0,08	0,08	0,08
H <sub>2</sub> O	2,74	2,73	2,31	2,52	3,26	2,22	1,99	2,73	2,47	3,08	2,63
Сумма	99,81	99,84	99,79	99,82	99,78	99,81	99,80	99,81	99,81	99,79	99,80
FeO'	8,76	7,57	7,82	7,70	8,16	8,52	9,48	7,33	7,29	7,07	7,98
Rb	28	32	28	30	33	32	-	31	31	41	33
Sr	697	525	529	527	529	610	-	459	407	421	485

Компоненты	12	13	14	15	16	17	18	19	20	21	22	23
	6-451	6-180	Среднее, 2 ан.	6-45	6-93	2-14	Среднее, 3 ан.	3-50	6-187	7-59	Среднее, 3 ан.	5-240
SiO <sub>2</sub>	58,92	61,23	60,08	70,45	71,52	71,62	71,20	74,15	74,77	74,97	74,63	62,43
TiO <sub>2</sub>	0,35	0,32	0,34	0,18	0,17	0,13	0,16	0,10	0,13	0,10	0,11	0,37
Al <sub>2</sub> O <sub>3</sub>	16,00	16,10	16,05	14,17	13,84	12,99	13,67	12,74	12,32	11,76	12,27	16,76
Fe <sub>2</sub> O <sub>3</sub>	1,97	1,01	1,49	0,69	0,95	0,72	0,79	0,56	0,37	0,36	0,43	3,38
FeO	5,45	5,38	5,42	3,47	3,60	3,54	3,54	2,04	2,96	2,18	2,39	2,25
MnO	0,10	0,07	0,09	0,03	0,03	0,04	0,03	0,02	0,02	0,04	0,03	0,03
MgO	3,67	2,72	3,20	1,29	1,15	1,10	1,18	0,53	0,76	0,42	0,57	1,84
CaO	6,56	4,33	5,45	2,21	1,11	2,59	1,97	2,21	2,50	1,84	2,18	1,44
Na <sub>2</sub> O	2,25	3,66	2,96	3,98	3,91	5,15	4,35	5,09	4,02	5,79	4,97	0,11
K <sub>2</sub> O	1,31	1,05	1,18	1,34	1,57	0,64	1,18	0,70	0,70	0,47	0,62	4,76
P <sub>2</sub> O <sub>5</sub>	0,15	0,11	0,13	0,07	0,08	0,06	0,07	0,06	0,07	0,06	0,06	0,14
CO <sub>2</sub>	0,05	0,16	0,11	0,05	0,32	0,05	0,14	0,21	0,05	0,91	0,39	0,75
S	0,40	0,52	0,46	0,46	0,47	0,38	0,44	0,43	0,31	0,05	0,26	2,54
F	0,07	0,07	0,07	0,06	0,05	0,05	0,05	0,05	0,08	0,04	0,06	0,08
H <sub>2</sub> O	2,55	3,07	2,81	1,31	1,03	0,73	1,02	0,91	0,75	0,81	0,82	2,16
Сумма	99,80	99,80	99,80	99,76	99,80	99,79	99,78	99,80	99,81	99,80	99,80	99,04
FeO'	7,22	6,29	6,76	4,09	4,46	4,19	4,24	2,54	3,29	2,50	2,78	5,29
Rb	24	22	23	28	-	13	21	8	-	6	7	93
Sr	488	418	453	303	-	201	252	313	-	157	235	48

*Примечание.* 1 – диорит амфиболовый; 2-4 – кварцевые диориты амфиболовые со слабо пренитизированным и серицитизированным плагиоклазом; 5-11 – кварцевые диориты с сильно серицитизированным и пренитизированным плагиоклазом и реликтовым амфиболом, в последних двух образцах сильная хлоритизация амфибала; 12-14 – кварцевые диориты обычно амфиболовые, слабо или умеренно пренитизированы, серицитизированы и хлоритизированы; 15-18 – плагиогранит слабо серицитизированный, обычен хлорит, пренит, биотит; 19-22 – плагиолейкогранит с небольшим количеством мусковита, хлорита, пренита, биотита; 23 – кварц-сериицитовый метасоматит аподиоритовый. Номер пробы включает номер скважины и глубину отбора пробы.

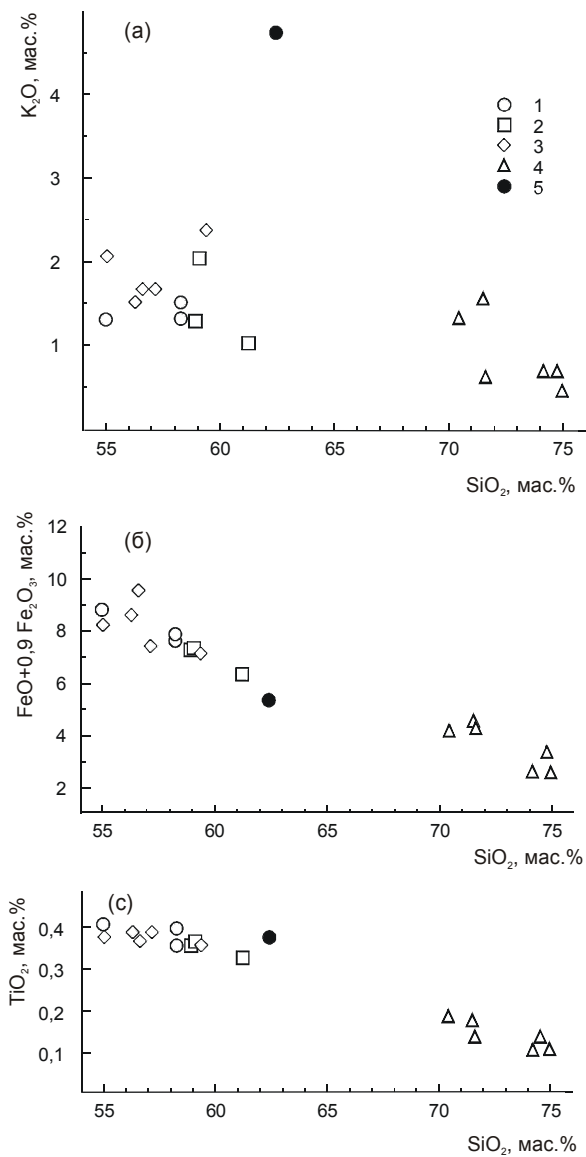


Рис. 1. Зависимость между содержаниями петрогенных компонентов в породах Вознесенского месторождения.

1 – кварцевые диориты амфиболовые со слабо пренитизированным и серицитизированным пластиоклазом; 2 – кварцевые диориты обычно амфиболовые, слабо или умеренно пренитизированные, серицитизированные и хлоритизированные; 3 – кварцевые диориты сильно серицитизированные; 4 – плагиограниты и плагиолейкограниты с небольшим количеством мусковита, хлорита, пренита, биотита; 5 – кварц-серицитовый метасоматит аподиоритовый.

ный вариант интерпретации: конкордантный возраст  $412 \pm 7$  млн. лет и возраст метаморфизма по дискордии (верхнее пересечение)  $324 \pm 7$  млн. лет. Калий-argonовые возраста по амфиболу соответствуют  $430 \pm 20$ ,  $436 \pm 35$ ,  $457 \pm 12$ ,  $471 \pm 15$  млн. лет [Грабежев, Белгородский, 1992]. На диаграмме K-Ar<sup>40</sup> пробы образуют четкий

тренд, свидетельствующий о потере радиогенного аргона. Вместе с тем, столь высокие значения K-Ar возрастов должны объясняться присутствием в амфиболах избыточного аргона.

Диоритоиды и плагиограниты Вознесенского месторождения мало отличаются по содержанию (соответственно 61-69 и 50-53 г/т) и распределению редких земель (табл. 3, рис. 3). Содержание La (10,5-13,0 г/т) и Ce (22,7-26,8 г/т) довольно близко во всех гранитоидах, однако плагиограниты имеют, по сравнению с диоритоидами, несколько пониженное содержание промежуточных и тяжелых редких земель, что и отражено на рис. 3. Различия подчеркиваются величинами отношений La/Yb (соответственно 8,7-11,0 и 6,9-8,1) и La/Gd (соответственно 7,0-8,6 и 3,6-4,2). В некоторых пробах слабо выражена отрицательная европиевая аномалия. Приведенные данные не оставляют сомнений в тесной генетической связи диоритоидов и плагиогранитов массива. Эволюция магматизма приводит к некоторому накоплению в плагиогранитах, по сравнению с диоритоидами, Zr, Hf, Nb, Ta, Sn, Ag, Th, U и обеднению Rb, Sr, Li, Cs, Ba, Sc, Ti, V, Mn, Co, Zn, Pb, Ga, Ge, Y при близких содержаниях Be, Bi, Tl (см. табл. 3). Приведенные данные и спайдердиаграмма позволяют отнести гранитоиды к островодужному типу, они мало отличаются также от плагиогранитоидов ряда альпинотипных комплексов [Бородина, Ферштатер, 2006 и др.]. Для минимально измененного амфиболового кварцевого диорита (обр. 3-141) Ю.Л. Ронкиным с коллегами получены изотопные данные. Величина  $(^{143}\text{Nd}/^{144}\text{Nd})_{\text{изм}}$  составляет  $0,512666 \pm 6$ , расчетное значение  $^{147}\text{Sm}/^{144}\text{Nd}$  (содержания элементов даны в табл. 3) отвечает 0,124. Рассчитанные на возраст 412 млн. лет величины  $(^{143}\text{Nd}/^{144}\text{Nd})_t$  и  $(\varepsilon\text{Nd})_{\text{CHUR}}^t$  соответственно составляют 0,512332 и 4,4. Величины  $^{87}\text{Sr}/^{86}\text{Sr}$  измеренного,  $^{87}\text{Rb}/^{86}\text{Sr}$  расчетного и  $(^{87}\text{Sr}/^{86}\text{Sr})_t$  рассчитанного составляют соответственно  $0,704691 \pm 11$  и 0,1535 и 0,703790.

Аподиоритовый кварц-серицитовый метасоматит не отличается от диоритоидов по содержанию суммы редких земель (60,8 г/т), но занимает промежуточное положение между диоритоидами и плагиогранитами на графике нормированного распределения редких земель, что наиболее четко фиксируется по величине La/Gd отношения (соответственно 5,4, 3,6-4,2 и 7,0-8,6). Интересно, что полное замещение пла-

Таблица 2

## Параметры для определения U-Pb возраста цирконов

Точки	$\frac{\%}{^{206}\text{Pb}_c}$		$\frac{\text{ppm}}{^{232}\text{Th}}$	$\frac{\text{ppm}}{^{238}\text{U}}$	$\frac{\text{ppm}}{^{206}\text{Pb}^*}$	$\frac{(1)}{^{206}\text{Pb}/^{238}\text{U}}$	$\frac{(2)}{^{206}\text{Pb}/^{238}\text{U}}$	$\frac{(1)}{^{207}\text{Pb}/^{206}\text{Pb}}$	$\frac{(1)}{^{207}\text{Pb}/^{206}\text{Pb}}$	$\frac{\%}{\text{Dis}-\text{cor}-\text{dant}}$	Total $\frac{^{238}\text{U}}{^{206}\text{Pb}}$	$\pm\%$	Total $\frac{^{207}\text{Pb}}{^{206}\text{Pb}}$	$\pm\%$	$\frac{(1)}{^{238}\text{U}/^{206}\text{Pb}^*}$	$\pm\%$	$\frac{(1)}{^{207}\text{Pb}^*/^{206}\text{Pb}^*}$	$\pm\%$	$\frac{(1)}{^{206}\text{Pb}^*/^{238}\text{U}}$	$\pm\%$	err corr	
	ppm	U	ppm	Th	ppm	U	Age	Age	Age	Age	Age	ppm	ppm	ppm	ppm	ppm	ppm	ppm	ppm	ppm	ppm	ppm
1,1	0,14	1600	744	0,44	83,8	380,9±4,8	381±4,9	380±44	0	16,4	1,3	0,05534	0,81	16,43	1,3	0,0542	1,9	0,455	2,3	0,06087	1,3	,558
2,1	0,18	1341	554	0,36	71,8	389±3,8	388,7±3,8	415±41	7	16,05	1	0,05648	1,2	16,08	1	0,0551	1,9	0,4722	2,1	0,0622	1	,479
3,1	0,52	503	212	0,43	26,3	378,7±3,9	378,5±3,9	398±77	5	16,44	1	0,05884	1,6	16,53	1,1	0,0546	3,4	0,456	3,6	0,0605	1,1	,296
4,1	0,12	2259	685	0,34	115	371,3±3,5	371,3±3,6	369±23	0	16,85	0,98	0,05496	0,72	16,87	0,98	0,05396	1	0,4411	1,4	0,05928	0,98	,686
5,1	0,62	1087	1617	0,53	55,9	372,1±3,7	372,1±3,7	395±60	6	16,72	10	0,05955	0,97	16,82	1	0,0546	2,7	0,447	2,8	0,05943	1	,356
6,1	0,36	597	150	0,38	33,8	409,2±4,2	409,1±4,1	420±77	3	15,2	1	0,05814	1,3	15,26	1,1	0,0553	3,5	0,499	3,6	0,06553	1,1	,291
6,2	0,40	234	464	0,22	13,4	415±4,6	415±4,6	417±92	0	14,98	1,1	0,0583	2,1	15,04	1,2	0,0551	4,1	0,505	4,3	0,06649	1,2	,271
7,1	0,04	1087	381	0,36	59,1	395,5±3,9	395,5±3,9	392±26	-1	15,8	1	0,05482	0,99	15,81	1	0,0545	1,2	0,4754	1,5	0,06327	1	,660
8,1	0,22	545	222	0,28	28,8	383,4±4	383,1±4	416±49	8	16,28	1,1	0,05684	1,4	16,32	1,1	0,0551	2,2	0,465	2,4	0,06128	1,1	,442
8,2	0,00	2688	51	0,62	141	382,3±5,1	388±18	1	16,37	1,4	0,0544	0,81	16,37	1,4	0,0544	0,81	0,4583	1,6	0,06111	1,4	,858	

Примечание. Errors are 1-sigma;  $\text{Pb}_c$  and  $\text{Pb}^*$  indicate the common and radiogenic portions, respectively. 1s Error in 91500 Standard calibration was 0,29 % (mean of 19).  
(1) Common Pb corrected using measured  $^{204}\text{Pb}$ . (2) Common Pb corrected by assuming  $^{206}\text{Pb}/^{238}\text{U}$ - $^{207}\text{Pb}/^{235}\text{U}$  age-concordance.

гиоклаза относительно высокотемпературной кварц-серicitовой (модификация  $2M_1$ ) ассоциацией не сопровождается выносом редких земель. Однако, оно естественно приводит к значительному привносу Rb, Cs и сильному выносу Sr. При этом на диаграмме K-Rb метасоматит, серicitизированные диоритоиды и пластиограниты находятся на одном тренде, что должно свидетельствовать о единой природе процесса серicitизации гранитоидов и образования кварц-серicitовых метасоматитов. Образование метасоматита сопровождается привносом большинства тех же элементов, которыми обогащены пластиограниты. Отчетливо выражен и значительный привнос рудных элементов – Mo, Cu, Zn, Bi, Cd, Sb, Te, Tl, Ag, W. Поэтому можно полагать, что рудно-метасоматический процесс протекал уже после внедрения пластиогранитов, что фиксируется и по геологическим данным, и имел своим источником резервуар, отвечающий кислой остаточной магме. Повышенное содержание Cr и Ni в метасоматите свидетельствует о взаимодействии флюида с вмещающими массивами серпентинитами до его достижения зоны рудоотложения.

Прожилково-вкрашенное оруденение наблюдается в субмеридиональной зоне распространения пластиогранитных жил в пределах быстро выклинивающегося по падению и простирации крутопадающего слабоконтрастного метасоматического ореола серicit-пропилитового типа, выклинивающегося на глубине 350-400 м [Шишаков и др., 1988; Грабежев, Белго-

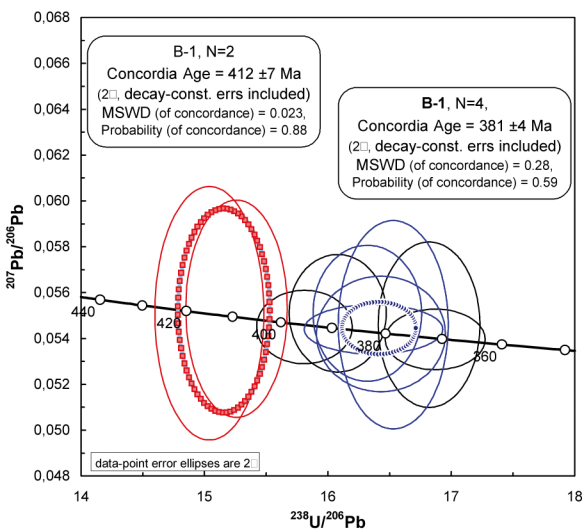


Рис. 2. U-Pb диаграмма с конкордией для цирконов из диорита Вознесенского месторождения.

# ГЕОХРОНОЛОГИЯ

Таблица 3

## Содержание малых элементов в гранитоидах Вознесенского массива, г/т

Элементы	1	2	3	4	5	6
	4-32	3-141	5-271	2-13,5	7-59	5-240A
Rb	41,60	31,89	45,35	12,49	8,32	94,94
Sr	526,81	596,86	399,19	172,27	123,74	44,13
Li	12,86	11,66	15,90	6,92	2,83	8,95
Cs	3,60	2,28	3,27	0,77	0,48	6,76
Be	0,54	0,65	0,66	0,60	0,46	0,71
Zr	34,47	35,77	51,73	63,41	59,93	62,40
Hf	1,13	1,10	1,52	2,00	1,99	1,79
Nb	1,83	1,97	2,18	3,24	3,69	2,81
Ta	0,20	0,18	0,39	0,62	0,66	0,28
W	2,41	2,25	0,97	1,96	14,06	13,12
Mo	5,88	23,27	0,00	5,67	16,40	19,24
Sn	1,07	1,08	1,02	2,30	1,93	2,35
Ba	559,14	441,86	728,18	144,25	133,49	619,85
Sc	40,09	46,53	39,23	9,61	4,55	41,45
Ti	2526,81	2920,15	2439,35	1113,82	681,52	2662,34
V	218,89	244,02	192,93	51,53	25,63	205,04
Cr	355,20	402,83	39,50	19,70	2173,44	1604,20
Mn	852,97	921,85	736,68	325,38	265,05	318,92
Co	23,23	25,46	19,69	6,43	7,43	24,68
Ni	174,86	208,83	11,57	19,86	1144,49	875,59
Cu	160,33	837,93	163,57	880,30	401,58	677,27
Zn	46,38	55,01	46,64	22,51	8,44	63,67
Pb	1,92	2,08	2,50	1,59	1,73	2,42
Bi	0,01	0,02	0,02	0,02	0,00	0,14
Tl	0,23	0,17	0,25	0,13	0,08	0,47
Ga	14,57	15,99	14,12	10,61	6,66	16,50
Ge	1,89	2,19	1,99	1,62	0,99	1,64
Ag	0,06	0,22	0,07	0,36	0,13	0,48
Cd	0,06	0,13	0,03	0,12	0,04	0,21
Sb	1,62	1,47	2,27	2,84	1,35	14,35
Te	0,00	0,03	0,03	0,03	0,00	0,14
Y	11,72	11,63	12,45	8,59	7,10	8,75
La	10,57	10,81	12,94	10,56	12,30	11,93
Ce	22,70	23,15	26,80	20,98	23,19	24,41
Pr	2,78	2,82	3,14	2,25	2,32	2,85
Nd	12,17	12,18	13,14	8,20	8,09	11,86
Sm	2,58	2,49	2,69	1,45	1,35	2,28
Eu	0,80	0,74	0,76	0,32	0,41	0,50
Gd	2,93	2,73	3,05	1,50	1,43	2,19
Tb	0,34	0,31	0,34	0,19	0,17	0,25
Dy	2,28	2,04	2,29	1,29	1,18	1,58
Ho	0,48	0,44	0,49	0,30	0,26	0,34
Er	1,47	1,33	1,48	0,95	0,84	1,04
Tm	0,22	0,20	0,23	0,16	0,14	0,16
Yb	1,54	1,43	1,60	1,22	1,12	1,19
Lu	0,24	0,23	0,26	0,22	0,20	0,20
Th	3,42	2,73	5,01	9,35	9,57	7,33
U	0,88	1,01	2,15	2,35	1,99	2,31

*Примечание.* 1-3 – кварцевые диориты обычно амфиболовые, умеренно пренитизированы, серицизированы и хлоритизированы; 4,5 – соответственно плагиогранит и плагиолейкогранит с небольшим количеством мусковита, хлорита, пренита, биотита; 6 – кварц-серицитовый метасоматит аподиоритовый. Номер пробы включает номер скважины и глубину отбора пробы. Анализы выполнены методом ICP-MS в ИГиГ УрО РАН.

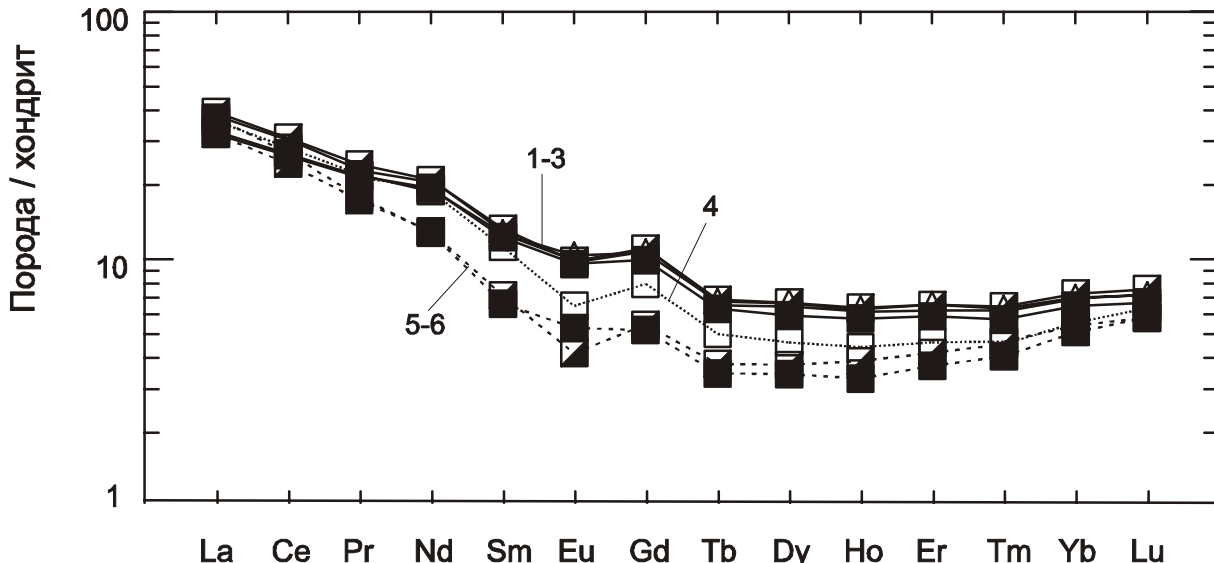


Рис. 3. Нормированное по хондриту (Sun, 1982) распределение редкоземельных элементов в породах Вознесенского месторождения.

1-3 – кварцевые диориты амфиболовые в различной степени серицитизированные, пренитизированные и хлоритизированные; 4 – кварц-серicitитовый метасоматит аподиоритовый; 5,6 – соответственно плагиогранит и плагиолейкогранит с небольшим количеством мусковита, хлорита, пренита, биотита.

родский, 1992]. По данным С.В. Сурина длина рудно-метасоматического ореола достигает 600 м, а ширина – 150-200 м. По мере удаления от центральной части ореола уменьшается степень серицитизации, деанортитизации плагиоклаза и увеличивается количество хлорита, пренита, развивающихся по амфиболу и плагиоклазу. Самая внешняя зона представлена хлорит-актинолитовыми пропилитами. В верхней части ореола часто наблюдается жильно-метасоматическое окварцевание, местами амфибол замещен бурым биотитом. Для измененных пород характерно низкое содержание карбоната (до 0,15 мас. %  $\text{CO}_2$ , редко больше) и пирита (обычно 0,1-0,4, реже до 1,5 мас. % серы). Только в отдельных участках количество пирита увеличивается до 5-8 об. %. По данным С.В. Сурина среднее содержание меди в рудном теле составляет 0,48 мас. %, серы – 1,5 мас. %. Оруденение представлено преимущественно пирит-халькопирит-кварцевыми прожилками толщиной 0,5-6 см, часто молибденит-содержащими. Широко распространена вкрапленность и просечки сульфидов. Безрудные прожилки имеют кварцевый и карбонатный состав, широко распространены пренитсодержащие прожилки. В одном из шлифов наблюдается пересечение кварцевого прожилка пирит-пренитовым прожилком. В центральной части зоны распространена пирит-халькопирито-

вая с молибденитом, а в периферической – пиритовая и сфалеритовая минерализация. Возможно, количество молибдена возрастает с глубиной. Наличие эруптивных брекчий, представленных обломками диоритов с прожилковой минерализацией и цементирующими ее рудосодержащими плагиогранитами, свидетельствует, как минимум, о двухэтапном формировании оруденения. Считается, что месторождение сильно эродировано [Шишаков и др., 1988], с чем можно согласиться. Более подробные сведения по рудной зональности приведены в [Шишаков и др., 1988].

За пределами месторождения в контактах с серпентинитами распространены участки пирротиновой (с халькопиритом) минерализации. В южной части массива находятся кварц-кальцитовые жилы мелкомасштабного золото-арсенопирит-кварцевого месторождения Большой Каран, отрабатывавшегося в начале прошлого века [Салихов и др., 2003]. Участки золотоносных кварцевых и кварц-карбонатных жилы тяготеют, как и рудная зона Вознесенского месторождения, к плагиогранитным дайкам. Золото ассоциирует с арсенопиритом (содержание мышьяка в рудах достигает 10 мас. %), сфалеритом, галенитом, халькопиритом, стибинитом, пиритом [Салихов и др., 2003]. Все гидротермалиты массива относятся, скорее всего, к одной, эволюционированной в про-

## ГЕОХРОНОЛОГИЯ

странстве и во времени, рудно-магматической системе, как это наблюдается в Новониколаевско-Михеевском и Березняковско-Томинском рудных районах [Грабежев, Белгородский, 1992; Грабежев и др., 1998].

Таким образом, Вознесенский массив выделяется среди других диоритоидных малых медно-порфировых интрузий Тагило-Магнитогорской зоны широким развитием жильных кислых пород – плагиогранитов и плагиолейкогранитов. Можно довольно уверенно утверждать, что возраст кристаллизации диоритов отвечает  $412 \pm 7$  млн. лет, т. е. явно древнее других медно-порфировых интрузий региона. Величины ( $^{87}\text{Sr}/^{86}\text{Sr}$ )<sub>t</sub> отношения и (eNd)<sub>t</sub> составляющие соответственно 0,703790 и 4,4, отвечают верхнемантийно-нижнекоровому источнику. Для диоритоидов массива характерно повышенное содержание калия, большая часть которого, скорее всего, является первично магматической. Повсеместное распространение в пределах рудной зоны имеет пренит-хлорит-серцицитовая ассоциация, образующаяся преимущественно при перераспределении петрогенных компонентов. Часто встречается, по сравнению с другими объектами, молибденит. Наличие разнообразного оруденения, сопровождающего становление массива, указывает на сложную историю эволюции рудно-магматической системы. Фанеритовая структура диоритоидов свидетельствует о формировании данного среза массива в условиях мезоабиссальной фации глубинности.

Авторы с благодарностью вспоминают плодотворное сотрудничество с д.г.-м.н. Е.А. Белгородским – одном из лучших знатоков региональной геологии и металлогении Южного

Урала. Работа также была бы невозможна без А.А. Краснобаева – как главного специалиста по цирконовой геохронологии.

*Исследования выполнены при финансовой поддержке РФФИ (проект 06-05-64053) и НШ-4210.2006.5.*

### *Список литературы*

*Бородина Н.С., Ферштатер Г.Б. Плагиогранитоиды в оphiолитовых комплексах Урала // Офиолиты: геология, петрология, металлогения и геодинамика. Екатеринбург: ИГГ УрО РАН, 2006. С. 90-92.*

*Грабежев А.И., Белгородский Е.А. Продуктивные гранитоиды и метасоматиты медно-порфировых месторождений. Екатеринбург: ИГГ УрО РАН, 1992. 199 с.*

*Грабежев А.И., Кузнецов Н.С., Пужаков Б.А. Рудно-метасоматическая зональность медно-порфировой колонны натриевого типа (парагонитсодержащие ореолы, Урал). Екатеринбург: ИГГ УрО РАН, 1998. 171 с.*

*Кривцов А.И., Мигачев И.Ф., Попов В.С. Медно-порфировые месторождения мира. М.: Недра, 1986. 236 с.*

*Салихов Д.Н., Ковалев С.Г., Беликова Г.И. и др. Полезные ископаемые Республики Башкортостан (золото). Часть 1. Уфа: Экология, 2003. 222 с.*

*Шишаков В.Б., Сергеева Н.Е., Сурин С.В. Вознесенское медно-порфировое месторождение на Южном Урале // Геол. рудн. месторожд. 1988. № 2. С. 85-89.*

*Sun S.S. Chemical composition and origin of the Earth's primitive mantle // Geochim. et Cosmochim. Acta. 1982. V. 46. P. 179-192.*